

УДК 539.26

© 1991

**ИССЛЕДОВАНИЕ РАЗМЕРОВ  
ОБЛАСТИ ФОРМИРОВАНИЯ ТОНКОЙ СТРУКТУРЫ  
К-СПЕКТРА ПОГЛОЩЕНИЯ  
КРИСТАЛЛИЧЕСКОГО КРЕМНИЯ**

*A. A. Павлычев, A. Barri, C. C. Потапов*

Установлено, что областью формирования тонкой структуры *K*-спектра фото-поглощения кристалла Si является кластер, включающий 12 координационных сфер (120 атомов). Показано, что эти атомы активно участвуют в формировании структуры спектра только при средних скоростях фотоэлектронов  $3 \leq k \leq 6.5 \text{ \AA}^{-1}$ . При меньших и больших скоростях тонкая структура спектра формируется в результате рассеяния фотоэлектронов на атомах, образующих кластер меньших размеров. Сравнение полученных результатов для *K*-спектра кристалла кремния с особенностями проявления «размерного» эффекта в *K*-спектрах щелочно-галоидных кристаллов, изученных ранее, демонстрирует их большое сходство.

Исследования кластерного приближения [1-3] показали, что область в виде двух кубов окружения возбужденного иона с  $1s$ -вакансиеей позволяет с достаточно высокой точностью описать тонкую структуру (ТС) рентгеновских спектров поглощения (РСП) кристаллов LiF и NaF в широком спектральном интервале, включающем как ближнюю, так и дальнюю ТС. Таким образом, интерференционная картина, ответственная за появление ТС в сечении фотопоглощения этих кристаллов, складывается из взаимодействия выходящей из возбужденного иона и рассеянных на  $\sim 124$  соседних ионах фотоэлектронных волн (эти ионы расположены на 9 координационных сferах (КС) окружения возбужденного иона; расстояние до наиболее удаленной КС равно  $\sqrt{12}a$ , где  $a$  — минимальное межионное расстояние в кристалле). Однако указанное выше достаточно большое число ионов принимает активное участие в формировании ТС только в диапазоне средних кинетических энергий  $E$  фотоэлектронов, который в [1-3] был оценен равным  $30 \leq E \leq 160$  эВ, а для медленных ( $E < 30$  эВ) и быстрых ( $E > 160$  эВ) их число оказывается меньшим. Зависимость размеров области формирования ТС РСП от величины скорости фотоэлектронов («размерный» эффект) была объяснена в [1-3]. В то же время вопрос об общности полученных результатов для систем с иным типом химической связи остается полностью открытым, поэтому исследование «размерного» эффекта для РСП других объектов представляет повышенный интерес.

В данной работе рассмотрено проявление «размерного» эффекта в *K*-спектре поглощения кристаллического кремния (*c-Si*). С этой целью была рассчитана последовательность кривых  $M_q(E)$ , которые характеризуют ТС *K*-спектра поглощения атома Si в зависимости от размеров кластеров  $G_q$ , окружающих этот атом. Влияние кластера  $G_q$ , состоящего из  $N$  атомов Si, окружающих возбужденный атом, на волновую функцию фотоэлектрона характеризуется потенциалом (псевдопотенциалом) окружения  $W_2$  [3, 4]. Если потенциал  $W_2$  определен, то зависимость  $M_q(E)$  находится на основе соотношений [1-4]

$$M_q = 1 + 2 \sum_{m \geq 1} \rho_q^m \cos [2m(\delta_1 + \varphi_q)]. \quad (1)$$

где  $\delta_1(E)$  — фаза рассеяния  $p$ -волн на ионе  $\text{Si}_k^+$ ,  $\varphi_q(E) = \arg B_q$ ,  $\rho_q(E) = |B_q|$ . Через  $B_q(E)$  обозначена амплитуда отражения от окружения фотоэлектронной волны, выходящей из возбужденного атома с орбитальным моментом  $l=1$  и энергией  $E$ . Величина  $B_q$  вычисляется на основе фазового уравнения

$$dB_q(E, r)/dr = (W_q(E, r)/2\sqrt{E}) i [h_1^+ + B_q(E, r) h_1]^2. \quad (2)$$

Использование соотношений (1), (2) предполагает, что влиянием анизотропии окружения и неупругими потерями фотоэлектрона в окружении можно пренебречь [1-3]. На этом основании мы не учитываем смешивание  $p$ -волн с другими атомными парциальными волнами и пренебрегаем мнимой частью потенциала окружения  $\text{Im } W_q = 0$ . Более того, в данной работе влияние потенциала кулоновской вакансии в области  $r \geq b$  ( $b$  — радиус атома  $\text{Si}_k^+$ ) также не учитывалось, поэтому волновую функцию фотоэлектрона в этой области представляем как суперпозицию функций Рикката — Ханкеля, сходящихся  $h_1^+$  и расходящихся  $h_1^-$  из возбужденного атома. Граничное условие  $B_q(E, R_q) = 0$  задается на радиусе действия  $R_q$  потенциала кластера  $G_q$ . Величина  $R_q$  складывается из расстояния до максимальной удаленной КС в кластере и радиуса атома Si.

Для вычисления псевдопотенциала  $W_q(E, r)$  на первом этапе потенциал каждого атома  $\text{Si}_j$  ( $r_j = r_j(r - R_j)$ ) в составе кластера  $G_q$ , находящегося на расстоянии  $R_j$  от атома  $\text{Si}_k^+$ , заменяется модельным энерго-зависящим псевдопотенциалом  $v_j^{ps}(E, r_j)$ , который описывает действие  $v_j$  на волновую функцию атомного фотоэлектрона. На втором этапе суперпозиция всех атомных псевдопотенциалов кластера  $G_q$  раскладывается в ряд по мультиполям относительно центра возбужденного атома.

При нахождении  $v_j^{ps}(E, r_j)$  мы исходили из условия

$$\partial_j^{ps} h_1^+(\sqrt{E} r) = v_j^{ps}(E, r_j) h_1^+(\sqrt{E} r). \quad (3)$$

В качестве  $\partial_j^{ps}$  использовался модельный потенциал Хейне — Абаренкова [5]:  $\sum_l A_l^j(E) \hat{P}_l^j$ , где  $A_l^j$  — парциальная глубина потенциала плоской ямы с радиусом  $b_j$ ;  $\hat{P}_l^j$  — проекционный оператор, который выделяет  $l$ -гармонику в разложении заданной функции (в данном случае  $h_1^+(\sqrt{E}r)$ ) относительно центра атома  $j$ . Величина  $A_l^j(E)$  вычисляется из равенства логарифмических производных

$$L_l^j(u_l^{j*}) = Q_l^j(E), \quad (4)$$

где

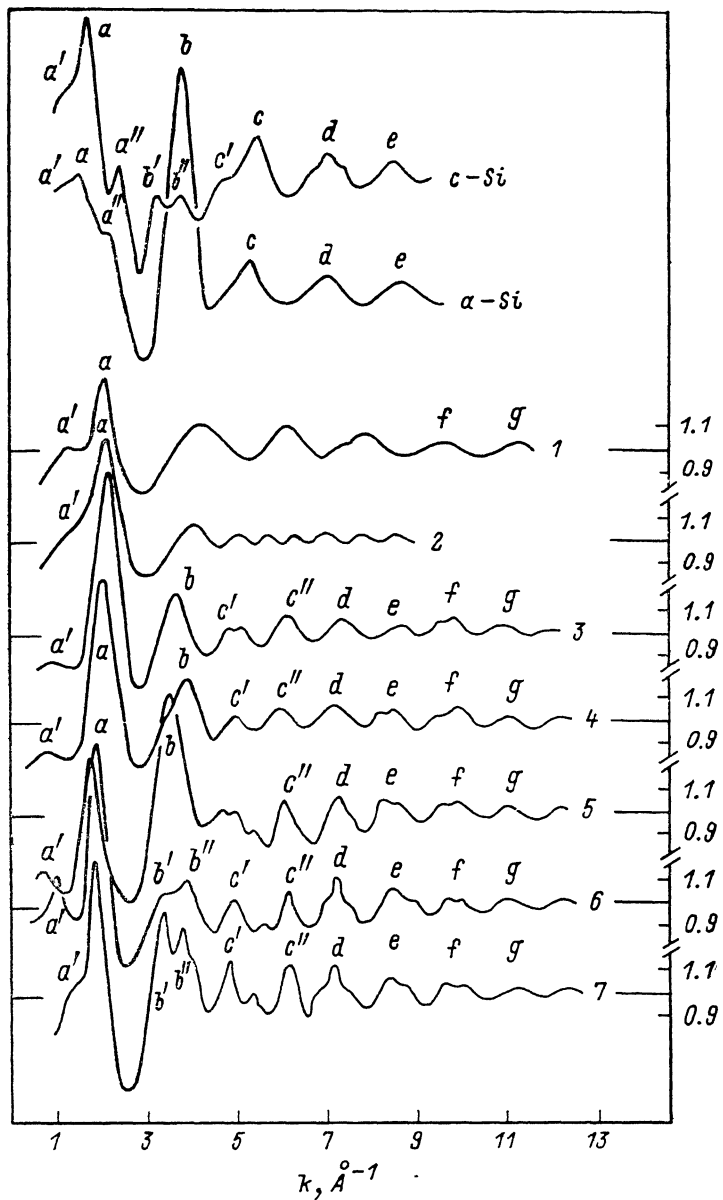
$$L_l^j = \left[ \frac{d}{dr} \tilde{f}_l(u_l^j r) / \tilde{f}_l(u_l^j r) \right]_{r=b_j}, \quad Q_l^j = \left[ \frac{d}{dr} \psi_l^j(E, r) / \psi_l^j(E, r) \right]_{r=b_j}.$$

Здесь  $\psi_l^j(E, r)$  — радиальная волновая функция электрона с энергией  $E$  и орбитальным моментом  $l$  в поле  $v_j$ ;  $\tilde{f}_l(u_l^j r)$  — функция электрона с той же энергией и тем же орбитальным моментом в поле модельного потенциала плоской ямы с глубиной  $A_l^j$ . Отсюда ясно, что  $A_l^j = E - u_l^{j*}$ ,  $r_j \tilde{f}_l$  — функция Рикката — Бесселя.

Следует выделить два важных момента при определении величины  $A_l^j(E)$  из уравнения (4): вычисление зависимости  $Q_l^j(E)$  и собственно решение уравнения (4). В работах [1-3] зависимости  $Q_l^j$  вычислялись для потенциалов свободных ионов, смешанных по энергии на величину потенциала Маделунга. В представленной работе зависимости  $Q_l^j(E)$  вычислялись с помощью потенциалов атомов кремния, полученных в ходе ССП MPB  $X_\alpha$  расчетов основного состояния кластера  $[\text{SiSi}_4]^0$  (в качестве  $v_j$ ,

брался потенциал центрального атома в кластере). Таким выбором потенциала частично учитывалось перераспределение электронной плотности атомов в кристалле.

Непосредственно при решении уравнения (4) мы сталкиваемся с трудностями, связанными с неоднозначностью выбора глубин  $A_i^z$  из-за наличия



Тонкая структура  $K$ -спектра фотопоглощения кристаллического кремния.

бесконечного набора независимых ветвей у логарифмической производной  $L_i^z(E)$ . При любой правой части уравнение (4) имеет бесконечное число решений, поэтому, чтобы устранить указанную неоднозначность и выбрать единственное решение, следует наложить дополнительные условия на зависимости  $A_i^z(E)$  и  $u_e^{z^2}(E)$ . Естественно потребовать: 1) непрерывной зависимости парциальных глубин от  $E$ , 2)  $\lim_{E \rightarrow \infty} u_e^z(E) = \sqrt{E}$ . Поскольку с ростом кинетической энергии фотоэлектрона его взаимодействие

с потенциалом атома  $j$  уменьшается, то  $\psi_j^i(E, r_j)$  стремится к  $\tilde{f}_l(\sqrt{E}r_j)$ , а условие «2» оказывается эквивалентным

$$\lim_{E \rightarrow \infty} A_j^i(E) = 0. \quad (5)$$

На основе вышеописанного подхода были рассчитаны зависимости  $M_q(E)$  для семи различных по своим размерам кластеров  $G_q$ . Рассчитанные зависимости  $M_q$  в интервале энергий фотоэлектронов от 1 до 600 эВ представлены на рисунке. Значения  $q$  от 1 до 7 соответствуют кластерам, образованным из 1, 2, 3, 4, 7, 12, 19 КС, окружающих возбужденный атом с вакансией на  $1s$ -оболочке. (Кластеры со значениями  $q \geq 4$  получены путем последовательного расширения элементарной ячейки в кристалле).

Сравнительный анализ рассчитанных кривых  $M_q(k)$ , где  $k = \sqrt{E}$ , позволяет выделить три характерные спектральные области: область низких  $k < 3 \text{ \AA}^{-1}$ , средних  $3 < k < 6.5 \text{ \AA}^{-1}$  и высоких  $k > 6.5 \text{ \AA}^{-1}$  скоростей фотоэлектронов (конечно, границы областей определены достаточно условно). Из этого рисунка видно, что на участке до  $3 \text{ \AA}^{-1}$  основные детали ТС РСП — полоса  $a$  и длинноволновый наплыв  $a'$  — формируются кластером минимальных размеров. Эти детали по мере увеличения размеров кластера сохраняются, и новых элементов ТС не возникает, тем не менее их энергетическое положение и интенсивность претерпевают изменения при расширении области окружения вплоть до 150 атомов. В области высоких энергий ТС РСП также формируется кластером небольших размеров. Так, элементы  $d, e, \dots (k > 6.5 \text{ \AA}^{-1})$  возникают при учете трех КС, а элементы  $f, g, \dots (k > 9 \text{ \AA}^{-1})$  — при учете только одной ближайшей КС. Как видно из приведенных результатов, наибольшее число КС принимает участие в формировании ТС РСП в области средних энергий фотоэлектронов. В интервале  $3 < k < 6.5 \text{ \AA}^{-1}$  происходят заметные изменения в спектре при увеличении числа КС от 7 до 12 и даже до 19 КС. Однако отметим, что изменения в ТС РСП при переходе от 12 к 19 КС сосредоточены лишь в достаточно узкой области в окрестности  $k \sim 4 \text{ \AA}^{-1}$ .

На основании проведенного анализа кривых  $M_q$  можно заключить, что в качестве области формирования ТС  $K$ -спектра фотопоглощения кристаллического кремния в основном выступает кластер, состоящий из 12 КС, т. е. из 120 атомов окружения. Полученные результаты о проявлении «размерного» эффекта в формировании ТС  $K$ -спектра поглощения кристаллического кремния находятся в удивительном согласии с результатами, полученными для ЩГК. Действительно, в обоих случаях 1) отчетливо выделяются три характерные спектральные области, границы которых практически совпадают (!) и 2) в области средних энергий фотоэлектронов достигается наивысшая чувствительность ТС РСП к влиянию далеких КС (при этом число атомов (ионов), активно участвующих в ее формировании, также оказывается примерно равным).

ТС  $K$ -спектров поглощения кристаллического (*c*-Si) и аморфного (*a*-Si) кремния, полученная на основе экспериментальных исследований [6], также приведена на рисунке. Сопоставление экспериментальных и теоретических (кривая  $M_q$ ) данных демонстрирует их достаточно хорошую корреляцию, что служит подтверждением справедливости используемого подхода и правомочности сделанных приближений. Однако ряд элементов экспериментального спектра (пик  $a''$  и полоса  $c$ ) не воспроизводятся в расчетах. По-видимому, их формирование не связано с интерференцией упруго рассеянных на атомах окружения фотоэлектронных волн,<sup>1</sup> определяющей спектральную зависимость  $M_q$ . Можно предположить, что их

<sup>1</sup> По крайней мере в рамках диагонального приближения, т. е. когда анизотропной частью потенциала пренебрегается.

появление в РСП обусловлено многоэлектронными эффектами в процессах фотоионизации  $K$ -оболочки кремния и рассеяния фотоэлектронов на соседних атомах. Согласно [7], структура Si  $K$ -спектра фотопоглощения  $a$ -Si вблизи  $k \sim 5.7 \text{ \AA}^{-1}$  (т. е. как раз в окрестности полосы  $c$ ) не может быть объяснена без учета многоэлектронных возбуждений. Вероятно, что этот процесс также ответствен за отличие между экспериментальной и теоретическими кривыми в окрестности полосы  $c$  и в данном случае.

Обратим внимание на тот факт, что наиболее сильное различие в экспериментальных спектрах кристаллического и аморфного кремния наблюдается в области средних энергий фотоэлектронов, что может быть объяснено, если принять во внимание влияние «размерного» эффекта на формирование ТС РСП. Выше было отмечено, что ТС РСП в области средних энергий является наиболее чувствительной к влиянию далеких КС, следовательно, именно в этой области наличие дальнего порядка в решетке будет проявляться наиболее сильно. Примечательно, что расхождения между двумя экспериментальными спектрами достигает максимума вблизи  $4 \text{ \AA}^{-1}$  (т. е. в окрестности полосы  $b$  в РСП  $a$ -Si и полос  $b'$  и  $b''$  в спектре  $c$ -Si), где, согласно нашим расчетам, область формирования ТС РСП достигает наибольших размеров (19 КС).

Авторы искренне благодарны Д. Е. Онопко за предоставление результатов ССП МРВ  $X_\alpha$  расчетов основного состояния кластера  $[\text{SiSi}_4]^0$ .

#### Список литературы

- [1] Павлычев А. А., Виноградов А. С., Кондратьева И. В. // ФТТ. 1986. Т. 28. № 9. С. 2881—2884.
- [2] Pavlychev A. A., Vinogradov A. S., Kondratieva I. V. // Cryst. Res. Technol. 1988. V. 23. N 6. P. 831—834.
- [3] Павлычев А. А., Виноградов А. С., Потапов С. С. // ФТТ. 1988. Т. 30. № 12. С. 3683—3690.
- [4] Павлычев А. А., Кондратьева И. В. // ФТТ. 1986. Т. 28. № 3. С. 837—843.
- [5] Abarenkov I. V., Heine V. // Phil. Mag. 1965. V. 12. N 3. P. 592—599.
- [6] Filipponi A. et al. // J. de Physique. 1986. EXAFS—V, V. 1. P. 8—375.
- [7] Filipponi A., Bernieri E., Mobilio S. // Phys. Rev. B. 1988. V. 38. N 5. P. 3298—3304.

Ленинградский государственный университет

Поступило в Редакцию  
23 августа 1990 г.